



Fotografía 1.- Vista panorámica del Istmo de la Pared y arco de Barlovento de Jandía. En primer término relieves del Complejo Basal en el límite con la hoja de Huertas de Chilegua. **TERCIARIO**



Fotografía 10.- Apilamiento de coladas basálticas de la F. miocena en Mña. de Areguía,
visto desde el norte. **MIOCENO**



Fotografía 11.- Detalle de la base escoriácea de una colada de la F. miocena en la zona de Agua Tres Piedras (costa de Barlovento). **MIOCENO**



Fotografía 12.- Discordancia (d) entre unos materiales brechoides, deslizados y rotos, y coladas masivas del tramo medio-superior de la F. basáltica miocena en Laja Blanca. **MIOCENO**



Fotografía 13.- Arenas eólicas pliocenas sobre la rasa de igual edad que marca la discor-
dancia con las coladas basálticas del tramo inferior de la F. miocena.
Zona de Agua Tres Piedras - manantial de Agua Oveja. **PLIOCENO**



Fotografía 14.- Rasa pliocena (r) con base conglomerática, y arenas eólicas sobre los materiales del Complejo Basal en el Tablero de Ugán. **PLIOCENO**



Fotografía 15.- Detalle de las areniscas grises con base conglomerática de la rasa pliocena cubiertas por arenas eólicas cementadas en el Tablero de Ugán.
PLIOCENO



Fotografía 16.- Panorámica de la playa del Viejo Rey y Punta de Guadalupe con arenas eólicas pliocenas sobre la rasa. Al fondo relieves del Complejo Basal en la zona de Amanay. **PLIOCENO**



Fotografía 17.- Aspecto de los sedimentos conglomeráticos pliocenos entre Casas de Matas Blancas y punta del Gerepe. **PLIOCENO**



Fotografía 18.- Detalle del nivel marino jandiense con abundante fauna de "strombus" en la localidad tipo de Matas Blancas. CUATERNARIO



Fotografía 19.- Panorámica del barranco de Tabaibejo en las proximidades de la playa de La Jaqueta. CUATERNARIO



Fotografía 2.- Panorámica de la costa entre Puerto Nuevo y Ugán constituida por materiales brechoides, fracturados e intensamente atravesados por diques. En blanco aparece la rasa y arenas eólicas pliocenas (R) y, sobre estos materiales, hay sedimentos detríticos de tipo glacis. Al fondo aparecen los relieves del Complejo Basal de la hoja de Huertas de Chilagua. **TERCIARIO**



Fotografía 20.- Panorámica del barranco de las Hermosas. Al fondo se observa el relieve de Mña. Cardón-La Galera y, al pie, materiales deslizados que ocupan el ángulo NE. de la hoja. CUATERNARIO



Fotografía 21.- Depósitos de aluviales antiguos y terrazas de unos 30 m de espesor en el barranco de Ugán. CUATERNARIO



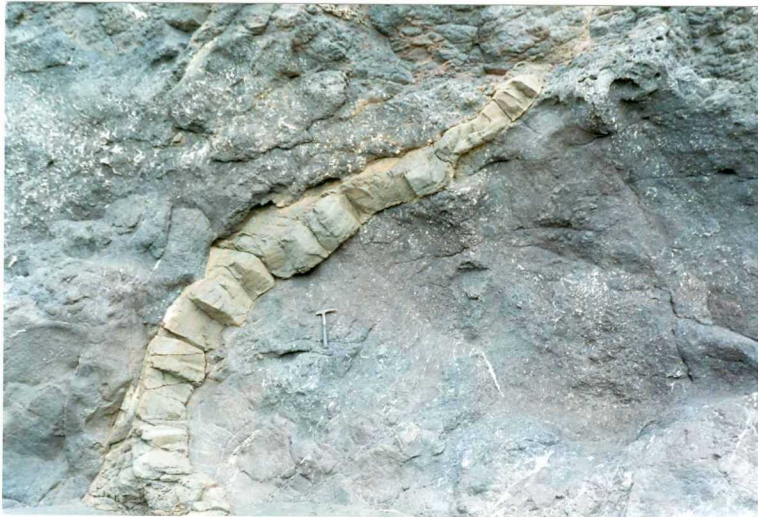
Fotografía 22.- Detalle de estos depósitos detríticos con alternancia de lentejones más finos y otros más groseros y cementados con imbricación de cantos.
CUATERNARIO



Fotografía 23.- Panorámica de la Playa del Viejo Rey, depósito de arenas finas con re-
tazos de un antiguo cordón marino "urbanense" (e). Al fondo, se observa
la rasa pliocena, (r) y las arenas eólicas en la Punta de Guadalupe.
CUATERNARIO



Fotografía 3.- Playas Negras. Brechas y tobas submarinas fracturadas e intruidas por diques del Complejo Basal en la hoja de Huertas de Chilegua. **TERCIARIO**



Fotografía 4.- Detalle de la fotografía anterior de una toba-brecha submarina atravesada por un dique divagante. Terciario



Fotografía 5.- Playa del viejo Rey. Brechas de tipo "debris-avalanche" de coladas subaéreas atravesadas por un dique tendido y tardío de composición basáltica.
TERCIARIO



Fotografía 6.- Detalle del "debris-avalanche" de la fotografía anterior. Terciario



Fotografía 7.-Detalle de las brechas en las proximidades de la playa de Las Hermosas. Terciario



Fotografía 8.- Panorámica de la discordancia (d) entre los tramos inferior y medio-superior de la F. basáltica miocena en el Resbaladero Grande y Resbaladero Chico.
MIOCENO



Fotografía 9.- Otro aspecto más detallado de la discordancia de la fotografía anterior.
Los cerritos próximos a las casas están brechificados por fracturación.
MIOCENO